

И Н С Т И Т У Т  
ЯДЕРНОЙ ФИЗИКИ СОАН СССР

ПРЕПРИНТ ИЯФ 76 - 9

Б.Н.Брейзман, Д.Д.Рютов, О.П.Соболев

СТРУКТУРА СПЕКТРА ДЛИННОВОЛНОВЫХ  
ЛЕНГМЮРОВСКИХ КОЛЕБАНИЙ  
В НЕОДНОРОДНОЙ ПЛАЗМЕ

Новосибирск

1976

СТРУКТУРА СПЕКТРА ДЛИНОВОЛНОВЫХ ЛЕНГМОРВСКИХ  
КОЛЕБАНИЙ В НЕОДНОРОДНОЙ ПЛАЗМЕ

Физика плазмы

Б.Н.Брейзман, Д.Д.Рютов, О.П.Соболев

А В Т О Р Е Ф Е Р А Т

СВЕЧИК ГЕННАДИЙ

Решена задача о структуре стационарного спектра ленгмировских колебаний, устанавливающегося под влиянием двух противодействующих друг другу факторов: спектральной перекачки колебаний в область малых значений волнового вектора из-за индуцированного рассеяния на ионах плазмы и увеличения волнового вектора за счет неоднородности концентрации плазмы. Стационарный спектр представляет собой узкий пик в  $\vec{K}$ -пространстве. Положение пика  $\vec{K}_0$  и его ширина  $\Delta$  связаны с полной энергией колебаний  $U$ .

Полученный результат показывает, что неоднородность плазмы препятствует образованию конденсата в точке  $\vec{K} = 0$  и делает возможным существование стационарного спектра, не подверженного модуляционной неустойчивости.

СТРУКТУРА СПЕКТРА ДЛИНОВОЛНОВЫХ ЛЕНГМОРВСКИХ  
КОЛЕБАНИЙ В НЕОДНОРОДНОЙ ПЛАЗМЕ

Б.Н.Брейзман, Д.Д.Рютов, О.П.Соболев

А Н Н О Т А Ц И Я

Решена задача о структуре стационарного спектра ленгмировских колебаний, устанавливающегося под влиянием двух противодействующих друг другу факторов: спектральной перекачки колебаний в область малых значений волнового вектора из-за индуцированного рассеяния на ионах плазмы и увеличения волнового вектора за счет неоднородности концентрации плазмы. Стационарный спектр представляет собой узкий пик в  $\vec{K}$ -пространстве. Положение пика  $K_0$  и его ширина  $\Delta$  связаны с полной энергией колебаний  $\mathcal{U}$ .

Полученный результат показывает, что неоднородность плазмы препятствует образованию ондеската в точке  $\vec{K} = 0$  и делает возможным существование стационарного спектра, не подверженного модуляционной неустойчивости.

### Постановка задачи и исходные уравнения

Как показывает теория слабой турбулентности, любое начальное распределение ленгмюровских колебаний в пространстве волновых векторов из-за нелинейного взаимодействия волн постепенно "стягивается" в окрестность точки  $\vec{K}=0$ . В однородной плазме этот процесс ведет к нарушению условий применимости приближения слабой турбулентности и к возникновению модуляционной неустойчивости [1]. Если же концентрация плазмы неоднородна, то "стягивание", в принципе, может остановиться до того, как разовьется сильная турбулентность, поскольку имеется конкурирующий эффект - увеличение волнового вектора из-за градиента концентрации. В предлагаемой работе найден спектр ленгмюровских колебаний, устанавливавшийся под влиянием этих двух противодействующих друг другу факторов. Основным механизмом нелинейного взаимодействия колебаний считается их индуцированное рассеяние на ионах плазмы.

Формально задача состоит в отыскании стационарного решения кинетического уравнения для спектральной плотности плазмонов  $N(\vec{K})$

$$\vec{V}_g \frac{\partial}{\partial \vec{K}} N(\vec{K}) - \frac{\partial \omega_p}{\partial \vec{K}} \frac{\partial}{\partial \vec{K}} N(\vec{K}) = N(\vec{K}) \int A_{\vec{K} \vec{K}'} N(\vec{K}') d^3 \vec{K}' \quad (1)$$

Здесь  $\omega_p$  - электронная плазменная частота,  $\vec{V}_g$  - групповая скорость волн. Выражение, стоящее в правой части, описывает процесс индуцированного рассеяния. Нас будут интересовать достаточно длинноволновые колебания

$$K \tau_D < (m/M)^{1/2} \quad (2)$$

Для них ядро интеграла  $A_{\vec{K} \vec{K}'}$ , характеризующее вероятность рассеяния, имеет вид (см., например, [2])

$$A_{\vec{K} \vec{K}'} = \frac{3\sqrt{2\pi}}{32} \frac{\omega_p}{mn} \left(\frac{M}{T}\right)^{1/2} \left(\frac{\vec{K} \vec{K}'}{K K'}\right)^2 \frac{\vec{K}'^2 - \vec{K}^2}{|\vec{K}' - \vec{K}|} \quad (3)$$

(мы считаем плазму изотермической)

Учитывая, что групповая скорость ленгмюровских колебаний мала, можно пренебречь первым слагаемым в левой части равенства (1). Тогда координаты  $x$ ,  $y$ ,  $z$  войдут в задачу лишь в качестве параметров. В получившемся уравнении удобно перейти к безразмер-

ным переменным. Обозначим через  $N$  полное число плазмонов в единице объема ( $N = \int N(\vec{K}) d^3 \vec{K}$ ) и выберем в качестве единицы измерения волнового вектора величину

$$\alpha = \left[ \frac{32}{3\sqrt{2\pi}} \tau_D \left| \frac{\partial}{\partial \vec{K}} \ln \omega_p \right| \left( \frac{m}{M} \right)^{1/2} \frac{mn \omega_p}{N} \right]^{1/2} \quad (4)$$

После замены

$$\begin{aligned} \vec{K} &\rightarrow \alpha \vec{K} \\ N(\vec{K}) &\rightarrow \frac{N}{\alpha^3} N(\vec{K}) \end{aligned} \quad (5)$$

исходное уравнение принимает следующий универсальный вид:

$$\vec{n} \frac{\partial}{\partial \vec{K}} N(\vec{K}) = N(\vec{K}) \int \left( \frac{\vec{K} \vec{K}'}{K K'} \right)^2 \frac{\vec{K}'^2 - \vec{K}^2}{|\vec{K}' - \vec{K}|} N(\vec{K}') d^3 \vec{K}' \quad (6)$$

где  $\vec{n}$  - единичный вектор, направленный противоположно градиенту концентрации. Безразмерная функция  $N(\vec{K})$ , очевидно, удовлетворяет условию нормировки.

$$\int N(\vec{K}) d^3 \vec{K} = 1 \quad (7)$$

Следует иметь в виду, что в области, где функция  $N(\vec{K})$  достаточно мала, она должна сливаться со спектром тепловых шумов  $N_T$ . Как будет показано ниже, по этой причине решение логарифмически зависит от  $N_T$ . Поскольку уровень колебаний существенно выше теплового, логарифм отношения  $N(\vec{K})/N_T$  является большой величиной и слабо изменяется с изменением  $N(\vec{K})$  ( $\ln(N(\vec{K})/N_T) \approx \Lambda \gg 1$ ), что заметно упрощает задачу об определении спектра.

### Стационарный спектр

Соображения, позволяющие использовать условие  $\Lambda \gg 1$  аналогичны высказанным в [3, 4]. Тем не менее для связности мы приведем их здесь. Пусть при некотором значении  $\vec{K} = \vec{K}_T$  спектр колебаний близок к тепловому. Тогда, обозначив интеграл в правой части уравнения (6) через  $\Gamma(\vec{K})$ , можно написать, что

$$N(\vec{K}) = N_T \exp \int_{(\vec{K}_T \vec{n})}^{\vec{K}} \Gamma(\vec{R}) d(\vec{n} \cdot \vec{R}) \quad (8)$$

В той области  $\vec{K}$ -пространства, где сосредоточены интенсивные колебания, показатель экспоненты имеет максимум. Обозначим точку максимума через  $\vec{K}_o$ . (из симметрии задачи следует, что вектор  $\vec{K}_o$  совпадает по направлению с вектором  $\vec{h}$ ). В точке  $\vec{K}=\vec{K}_o$  показатель экспоненты равен  $\Lambda$ , а по мере удаления от нее он уменьшается, убывая вдвое на масштабе порядка  $K_o$ . Функция  $N(\vec{k})$  уменьшается при этом в  $e^{\Lambda/2}$  раз. Отсюда видно, что полуширина спектра существенно меньше, чем  $K_o$ , т.е. при  $\Lambda \gg 1$  все колебания сосредоточены в очень узкой окрестности точки  $\vec{K}=\vec{K}_o$ .

В области, удаленной от максимума на расстояние, превышающее ширину спектра, справедливо следующее приближенное выражение для нелинейного инкремента  $\Gamma(\vec{k})$ , входящего в формулу (8)

$$\Gamma(\vec{k}) = \left( \frac{\vec{K}\vec{K}_o}{KK_o} \right)^2 \frac{K_o^2 - K^2}{|\vec{K}_o - \vec{k}|} \quad (9)$$

Отметим, что инкремент положителен внутри сферы  $K=K_o$  и отрицателен снаружи.

При распространении волны по неоднородной плазме продольная (по отношению к  $\vec{h}$ ) составляющая её волнового вектора возрастает, а поперечная сохраняется, так что на плоскости  $(K_{\parallel}, K_{\perp})$  траектория представляет собой прямую линию (см.рис. I). Двигаясь со стороны отрицательных значений  $K_{\parallel}$ , волна вначале проходит область затухания ( $\Gamma < 0$ ). Поэтому вплоть до границы сферы  $K=K_o$  уровень колебаний близок к тепловому<sup>I)</sup>. Пройдя через границу, волна начинает усиливаться ( $\Gamma > 0$ ) и достигает максимального уровня на выходе из сферы, а затем затухает. Из сказанного следует, что сдвиг решения с тепловыми шумами должна производиться на сфере  $K=K_o$  при отрицательных значениях  $K_{\parallel}$ , т.е. нижний предел интегрирования в формуле (8) равен  $-(K_o^2 - K_{\perp}^2)^{1/2}$ .

Вычислив интеграл, можно привести формулу (8) к следующему виду:

$$\ln \frac{N(\vec{k})}{N_T} = 2K_o^2 - \Sigma K_o K_{\perp} - 2K_o \int N(\vec{k}') |\vec{k}' - \vec{k}| d^3 \vec{k}' \quad (10)$$

Мы ограничились здесь первыми членами разложения по параметру  $\Delta/K_o$ , где  $\Delta$  — ширина спектра колебаний. Вблизи максимума функции  $N(\vec{k})$  последние два слагаемых в правой части (10)

<sup>I)</sup> В действительности он несколько отличается от теплового из-за того, что имеется затухание  $\Gamma$ , но это отличие несущественно, поскольку поправочный множитель входит в результат под знаком логарифма.

малы по сравнению с первым, а левая часть равна  $\Lambda$ . Отсюда определяется величина  $K_o$ :

$$K_o = (\Lambda/2)^{1/2} \quad (II)$$

Подставим  $K_o$  в члены первого порядка и внесем  $2K_o^2$  под знак логарифма, заменив  $N_T$  на известную константу  $N_0$ :

$$\ln \frac{N(\vec{k})}{N_0} = -(2\Lambda)^{1/2} \left[ \frac{\Sigma}{2} K_{\perp} + \int N(\vec{k}') |\vec{k}' - \vec{k}| d^3 \vec{k}' \right] \quad (12)$$

Константа  $N_0$  должна быть определена из условия нормировки (7). Поскольку уравнение (12) инвариантно относительно сдвига вдоль направления  $\vec{h}$ , необходимо ещё потребовать, чтобы максимум колебаний находился в точке  $K_{\parallel} = K_o$ .

Уравнение (12) удается решить только численно (см.ниже). Примечательно, что его аналог, относящийся к одномерному спектру колебаний (волновые векторы параллельны градиенту концентрации)

$$\ln \frac{N(k)}{N_0} = -(2\Lambda)^{1/2} \int N(k') |k - k'| dk' \quad (13)$$

имеет простое аналитическое решение. В самом деле, дифференцируя обе части равенства (13) по  $k$ , получим:

$$\frac{d^2}{dk^2} \ln N(k) = -2(2\Lambda)^{1/2} N(k) \quad (14)$$

Решение с максимумом в точке  $k = K_o = (\Lambda/2)^{1/2}$ , удовлетворяющее одномерному условию нормировки

$$\int N(k) dk = 1$$

имеет следующий вид:

$$N(k) = \frac{\Lambda^{1/2}}{2^{3/2}} ch^{-2} \left[ \left( \frac{\Lambda}{2} \right)^{1/2} (k - K_o) \right] \quad (15)$$

Подчеркнем, что ширина спектра действительно оказывается малой ( $\Delta/K_o \sim \Lambda^{-1} \ll 1$ ).

Для численного решения трехмерного уравнения (12) удобно

сделать в нем замену:

$$(2\Lambda)^{1/2} (\vec{K} - \vec{K}_0) \rightarrow \vec{x}$$

а затем воспользоваться следующей итерационной процедурой, автоматически учитывющей условию нормировки:

$$N_{i+1}(\vec{x}) = \frac{\exp - \left[ \frac{\gamma}{2} x_\perp + \int N_i(\vec{x}') |\vec{x} - \vec{x}'| d^3 \vec{x}' \right]}{\int d^3 \vec{x}' \exp - \left[ \frac{\gamma}{2} x_\perp + \int N_i(\vec{x}') |\vec{x} - \vec{x}'| d^3 \vec{x}' \right]} \quad (I6)$$

В качестве затравочной выбиралась функция

$$N_1(\vec{x}) = \exp - \left( \frac{\gamma}{2} x_\perp + \sqrt{x_\parallel^2 + x_\perp^2} \right) \quad (I7)$$

дающая асимптотическое поведение решения на краях спектра. Вычисления производились на ЭВМ БЭСМ-6. Сначала выполнялось усреднение разности  $|\vec{x} - \vec{x}'|$  по азимутальному углу, а затем вычислялся интеграл по  $x_\perp$  и  $x_\parallel$  на сетке размером 20x50 шагов. В соответствии с асимптотикой (I7) считалось, что  $x_\parallel$  и  $x_\perp$  изменяются в следующих пределах:

$$|x_\parallel| < 5 \quad x_\perp < 2$$

Итерации быстро сходятся (различие между 7 и 10 итерациями не превышает 1%). Результат представлен на рисунке 2.

В размерных переменных спектр представляет собой узкий пик в пространстве волновых векторов, расположенный в точке

$$\vec{K}_0 = \vec{n} \propto \left( \frac{\Lambda}{2} \right)^{1/2} \quad (I8)$$

где величина  $\propto$  задается формулой (4). Ширина пика  $\Delta$  и его амплитуда  $N_{\max}$  определяются следующими оценками:

$$\Delta \sim \propto \Lambda^{-1/2} \quad (I9)$$

$$N_{\max} \sim N \Delta^{-3}$$

( $N$  – число плазмонов в единице объема).

### Обсуждение результатов

Уточним условия применимости найденного решения. Мы подразумевали, что в системе отсутствует модуляционная неустойчивость. Это налагает ограничение сверху на плотность энергии колебаний

$$U = \omega_p N \quad (\text{см.}/1/):$$

$$\frac{U}{nT} < (z_b \Delta)^2 \quad (20)$$

Неравенство (20) удобно переписать, выразив  $\Delta$  через  $U$  и характерный масштаб неоднородности плазмы  $L = 1/\gamma^2 \ln \omega_p$  с помощью формул (4), (I8), (I9):

$$\frac{U}{nT} < \left( \frac{z_b}{\Lambda L} \right)^{1/2} \left( \frac{m}{M} \right)^{1/4} \quad (21)$$

Ограничение на плотность энергии снизу связано с тем, что характерное значение волнового вектора не должно превышать одного шага спектральной перекачки при рассеянии колебаний на ионах (см. формулу (2)). Соответствующее условие имеет вид:

$$\frac{U}{nT} > \Lambda \frac{z_b}{L} \left( \frac{M}{m} \right)^{1/2} \quad (22)$$

Заметим, что если знак неравенства противоположен, то стационарный спектр отсутствует, поскольку в этом случае индуцированное рассеяние колебаний на ионах не может воспрепятствовать увеличению волнового вектора за счет неоднородности (при  $k z_b > (m/M)^{1/2}$  инкремент индуцированного рассеяния перестает расти с ростом  $K$ ).

К приведенным неравенствам надо, вообще говоря, добавить ещё условие применимости приближения геометрической оптики. Однако нетрудно проверить, что оно в рассматриваемом случае выполняется автоматически.

Из требования совместности неравенств (21), (22) следует, что

$$L > z_b \Lambda^3 \left( \frac{M}{m} \right)^{3/2}$$

(23)

Вместе с неравенством (21) это условие дает предельное значение энергии колебаний, при котором еще имеет смысл рассмотренное решение

$$\frac{U_{\max}}{nT} \sim \frac{m}{M \lambda^2} \quad (24)$$

Таким образом, показано, что в неоднородной плазме (при надлежащем выборе пространственного масштаба изменения концентрации) вплоть до энергии, определяемой формулой (24), может существовать стационарный спектр ленгмировских колебаний, не подверженный модуляционной неустойчивости.

#### Л и т е р а т у р а

1. А.А.Веденов, Л.И.Рудаков. ДАН СССР, 159, 767 (1964)
2. В.Н.Цытович. Нелинейные эффекты в плазме, Наука, Москва (1967)
3. W.E. Drummond. Phys. Fluids, 5, 1133 (1962)
4. А.А.Иванов, Л.И.Рудаков. ЖЭТФ, 51, 1522 (1966)

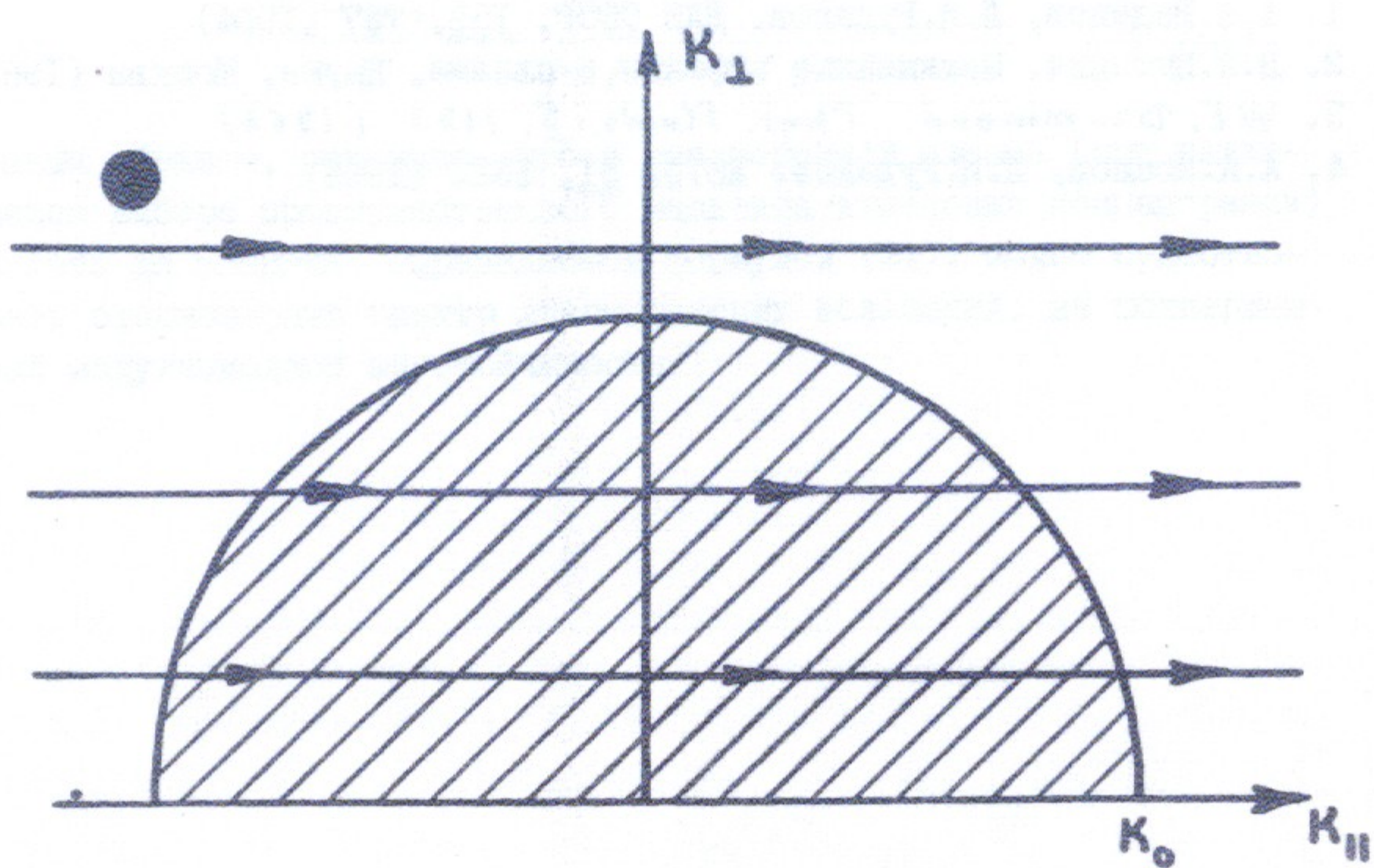


Рис.1. К определению условия сущности решения со спектром тепловых шумов. Прямые линии - траектории колебаний с различными значениями  $K_1$ . Стрелками показано направление движения. Заштрихована область нарастания колебаний ( $\Gamma > 0$ ).

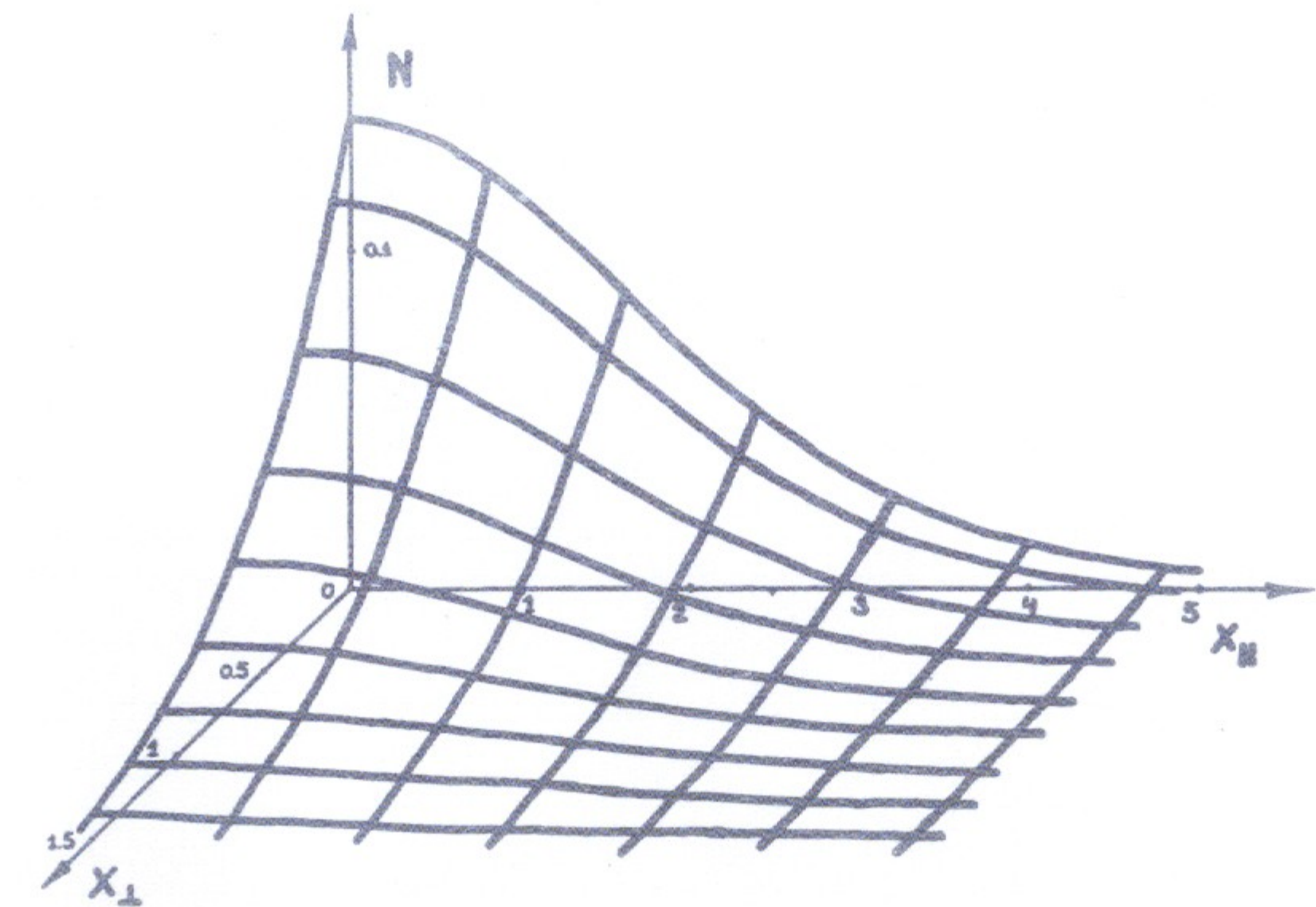


Рис.2. Результат численного решения уравнения (I3).

Работа поступила - 27 октября 1975 года

---

Ответственный за выпуск Г.А.СИРИДОНОВ

Подписано к печати 16.1-1976г. № 02613

Усл. печ. 0,9 л., тираж 200 экз. Бесплатно

Заказ № 9.

---

Отпечатано на ротапринте ИЯФ СО АН СССР, бт